

# СТОХАСТИЧЕСКИЕ ТРАЕКТОРИИ ПОЛЯ ПРИ КВАНТОВОМ НЕРАЗРУШАЮЩЕМ ИЗМЕРЕНИИ ЧИСЛА ФОТОНОВ

*A. A. Букач\*, С. Я. Килин*

*Институт физики им. Б. И. Степанова Национальной академии наук Беларусь  
220072, Минск, Беларусь*

Поступила в редакцию 8 апреля 2005 г.

Изучена временная эволюция оптического поля в процессе квантового неразрушающего измерения числа фотонов, основанного на керровском взаимодействии исследуемого и вспомогательного полей. Показано, что состояние поля приближается к фоковскому лишь асимптотически при стремлении времени к бесконечности, при этом большую часть времени измерения поле находится в суперпозиции только двух фоковских состояний (фоковский кубит). Получена оценка времени, необходимого для проведения измерения числа фотонов с заданной точностью, а также времени существования фоковского кубита.

PACS: 42.50.-p, 42.50.Dv, 03.65.Ta, 03.65.-w

## 1. ВВЕДЕНИЕ

В квантовой механике значительная роль по праву отводится процедуре измерения. За время существования квантовых представлений о мире возникало множество вопросов, связанных с природой измерения и двойственностью квантовомеханического описания реальности.

При решении задач квантовой механики измерение обычно трактуется в фон-неймановском смысле как одномоментный акт, приводящий к скачкообразной редукции состояния исследуемого объекта. Однако в реальности для осуществления измерения исследуемый объект должен взаимодействовать с измерительной аппаратурой в течение некоторого ненулевого времени [1], и переход исследуемого объекта в состояние, соответствующее результату измерения, не является мгновенным скачком. В связи с этим возникает вопрос о пути этого перехода, об эволюции состояния объекта в процессе его измерения. Исследование этого вопроса представляет как самостоятельный фундаментальный интерес, так и практическую значимость, позволяя судить о времени, необходимом для проведения измерения, и его точности, т. е. о том, насколько окончательное состояние исследуемого объекта будет соответствовать результату измерения. В данной работе этот вопрос

рассматривается в применении к измерению числа фотонов в оптическом поле.

В отличие от идеального квантового измерения, немедленное повторение которого должно приводить к одному и тому же результату, в реальном случае из-за конечности времени реального измерения сама наблюдаемая в процессе измерения может возмущаться вследствие взаимодействия с аппаратом. Чтобы избежать этого эффекта, можно использовать идею квантового неразрушающего измерения [2–4], т. е. подобрать гамильтониан взаимодействия объекта с измерительной аппаратурой  $\mathcal{H}_I$  так, чтобы обратное влияние измерения на измеряемую наблюдаемую  $\mathcal{A}$  отсутствовало, для чего необходимо выполнение соотношения:

$$[\mathcal{H}_I, \mathcal{A}] = 0. \quad (1)$$

Неразрушающее измерение числа фотонов оптического поля может быть реализовано посредством его взаимодействия в нелинейной среде со вспомогательным полем в известном начальном состоянии и последующего изменения свойств вспомогательного поля [5]. Для того чтобы выполнялось соотношение (1), гамильтониан взаимодействия должен разлагаться в ряд по степеням оператора числа фотонов  $a^\dagger a$ . Самым простым случаем нелинейности, удовлетворяющей этому условию, является оптический эффект Керра, при котором гамильтониан  $\mathcal{H}_I$  линеен по числу фотонов в исследуемом и вспомога-

\*E-mail: a.bukach@dragon.bas-net.by

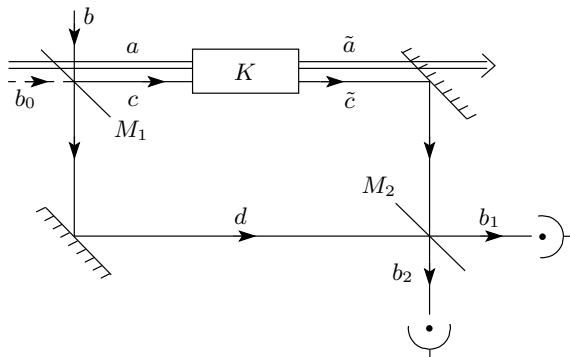
тельном полях. Схема неразрушающего измерения с использованием оптического эффекта Керра была впервые исследована Имото, Хаусом и Ямамото [6], однако там измерение фазового сдвига вспомогательного поля рассматривалось как идеальное одномоментное измерение. Применение к исследуемой схеме теории непрерывных квантовых измерений [7], использованное в настоящей работе, позволяет «развернуть» структуру измерения во времени.

## 2. ЭВОЛЮЦИЯ ПОЛЯ В ПРОЦЕССЕ ИЗМЕРЕНИЯ

### 2.1. Неразрушающее измерение числа фотонов

Подробная схема описанного метода измерения, представленная на рис. 1, состоит в следующем. Возбуждаемое когерентной накачкой вспомогательное поле делится на полуопрозрачном зеркале на два пучка, один из которых взаимодействует с исследуемым полем в керровской среде, а второй используется в качестве опорного при измерении сдвига фаз первого пучка в гомодинной схеме.

Если обозначить операторы уничтожения фотонов в исследуемой и вспомогательной моде поля соответственно  $a$  и  $c$ , то гамильтониан взаимодействия



**Рис.1.** Схема неразрушающего измерения числа фотонов. Вспомогательная мода  $b$ , смешившись на полуопрозрачном зеркале  $M_1$  с вакуумной модой  $b_0$ , разделяется на пучки  $c$  и  $d$ , первый из которых взаимодействует с исследуемым полем  $a$  в керровской среде  $K$ . Изменение фазы вспомогательного поля после взаимодействия, связанное с числом фотонов в поле  $a$ , определяется в схеме гомодинного детектирования: моды  $\tilde{c}$  и  $d$  смешиваются на втором полуопрозрачном зеркале  $M_2$  и возникающие в результате поля  $b_1$  и  $b_2$  направляются на детекторы

мод в керровской среде может быть записан следующим образом [6]:

$$\mathcal{H}_I = \hbar \kappa a^\dagger a c^\dagger c, \quad (2)$$

где  $\kappa$  характеризует нелинейность среды. Как уже отмечалось, он коммутирует с оператором числа фотонов  $n_a = a^\dagger a$  в исследуемом поле, поэтому такое измерение действительно является неразрушающим. При прохождении исследуемого и вспомогательного полей сквозь керровскую среду их операторы подчиняются уравнениям эволюции

$$\dot{a} = \frac{i}{\hbar} [\mathcal{H}_I, a], \quad \dot{c} = \frac{i}{\hbar} [\mathcal{H}_I, c], \quad (3)$$

поэтому после взаимодействия в среде в течение времени  $\Delta t$  они примут вид

$$\begin{aligned} \tilde{a} &= \exp\left(-\frac{i}{\hbar} \mathcal{H}_I \Delta t\right) a \exp\left(\frac{i}{\hbar} \mathcal{H}_I \Delta t\right) = \\ &= a \exp(i\chi c^\dagger c), \end{aligned} \quad (4)$$

$$\begin{aligned} \tilde{c} &= \exp\left(-\frac{i}{\hbar} \mathcal{H}_I \Delta t\right) c \exp\left(\frac{i}{\hbar} \mathcal{H}_I \Delta t\right) = \\ &= c \exp(i\chi a^\dagger a), \end{aligned} \quad (5)$$

где использовано обозначение  $\chi = \kappa \Delta t$ . Таким образом, вспомогательное поле действительно получит фазовый сдвиг, пропорциональный числу фотонов в исследуемом поле.

Для того чтобы описать преобразование вспомогательного поля на полуопрозрачных зеркалах, введем в рассмотрение вакуумную моду вспомогательного поля  $b_0$ , локализованную с другой стороны зеркала  $M_1$ , нежели входной пучок  $b$ . Тогда операторы уничтожения фотонов в модах вспомогательного поля после его преобразования на первом зеркале будут иметь вид [7]

$$c = \frac{1}{\sqrt{2}}(b + b_0), \quad d = \frac{1}{\sqrt{2}}(b - b_0). \quad (6)$$

Аналогичным образом связаны операторы поля по разные стороны полуопрозрачного зеркала  $M_2$  в гомодинной схеме:

$$b_1 = \frac{1}{\sqrt{2}}(\tilde{c} + d), \quad b_2 = \frac{1}{\sqrt{2}}(\tilde{c} - d). \quad (7)$$

### 2.2. Эволюция матрицы плотности

Уравнение эволюции матрицы плотности  $\rho$  полей, взаимодействующих с детекторами, в форме Линдблада можно записать следующим образом [8]:

$$\dot{\rho} = -\frac{i}{\hbar} [H, \rho] + \frac{\gamma}{2} \sum_{l=1}^2 ([b_l \rho, b_l^\dagger] + [b_l^\dagger \rho, b_l]), \quad (8)$$

где  $\gamma$  — некоторая константа, зависящая от свойств детекторов и определяющая эффективность их взаимодействия с полем. Гамильтониан поля

$$\mathcal{H} = \hbar\omega_a a^\dagger a + \hbar\omega_p \sum_{l=1}^2 b_l^\dagger b_l + \mathcal{V}(t) \quad (9)$$

включает в себя свободные гамильтонианы исследуемого и вспомогательного полей с частотами соответственно  $\omega_a$  и  $\omega_p$  и гамильтониан возбуждения вспомогательного поля на частоте  $\omega_0$ :

$$\mathcal{V}(t) = \hbar(v^* \exp(i\omega_0 t)b + v \exp(-i\omega_0 t)b^\dagger), \quad (10)$$

где  $v$  характеризует интенсивность накачки, а связь оператора  $b$  с операторами  $b_1$  и  $b_2$  определяется соотношениями (4)–(7). Взаимодействие полей в керновской среде учитывается посредством преобразования операторов (4) и (5).

Переход в другое представление, определяемый оператором

$$U = \exp \left( i \left( \omega_a a^\dagger a + \omega_0 \sum_{l=1}^2 b_l^\dagger b_l \right) t \right),$$

позволяет избавиться от явной зависимости от времени в правой части уравнения (8), что дает возможность найти общее решение этого уравнения:

$$\rho(t) = S_t \exp \left( \int_0^t J(\tau) d\tau \right) \rho(0). \quad (11)$$

Здесь  $S_t$  и  $J(t)$  — супероператоры, определяемые действием на произвольный оператор  $x$ :

$$S_t x = \exp \left( -\frac{i}{\hbar} H_{eff} t \right) x \exp \left( \frac{i}{\hbar} H_{eff}^\dagger t \right), \quad (12)$$

$$\begin{aligned} J(t) &= \sum_{l=1}^2 J_l(t), & J_l(t) &= S_t^{-1} J_l S_t, \\ J_l x &= \gamma b_l x b_l^\dagger, \end{aligned} \quad (13)$$

а оператор  $H_{eff}$  имеет вид

$$H_{eff} = \hbar \sum_{l=1}^2 (\nu b_l^\dagger b_l + v^* \alpha^{(l)} b_l + v \alpha^{(l)\dagger} b_l^\dagger), \quad (14)$$

где введены обозначения

$$\nu = \Omega - i \frac{\gamma}{2}, \quad \Omega = \omega - \omega_0, \quad (15)$$

$$\begin{aligned} \alpha^{(1)} &= \frac{1}{2} (\exp(-i\chi a^\dagger a) + 1), \\ \alpha^{(2)} &= \frac{1}{2} (\exp(-i\chi a^\dagger a) - 1). \end{aligned} \quad (16)$$

Физический смысл введенных супероператоров становится ясен ниже.

Вспомогательное поле возбуждается внешним источником, поэтому его начальное состояние без ограничения общности может быть выбрано вакуумным, т. е.

$$\begin{aligned} \rho(0) &= |0\rangle_1 \langle 0| \otimes |0\rangle_2 \langle 0| \otimes \\ &\otimes \sum_{m,n=0}^{\infty} \rho_{mn}(0) |m\rangle_a \langle n|, \end{aligned} \quad (17)$$

где векторы  $|0\rangle_l$  ( $l = 1, 2$ ) относятся к состоянию моды  $b_l$ , а матрица плотности исследуемого поля записана в базисе фоковых состояний  $|m\rangle_a$ .

Подставляя начальное условие (17) в уравнение (8), получаем окончательное выражение для матрицы плотности (11):

$$\rho(t) = \sum_{m,n=0}^{\infty} \rho_{mn}(0) \exp(K_{m-n}(t)) |m, t\rangle \langle n, t|, \quad (18)$$

где вектор

$$|m, t\rangle = |\beta_t \alpha_m^{(1)}\rangle_1 |\beta_t \alpha_m^{(2)}\rangle_2 |m\rangle_a \quad (19)$$

соответствует фоковскому состоянию исследуемого поля с  $m$  фотонами и когерентным состоянием мод вспомогательного поля с амплитудами, определяемыми соотношениями

$$\beta_t = \frac{v}{\nu} (\exp(-i\nu t) - 1), \quad (20)$$

$$\begin{aligned} \alpha_m^{(1)} &= \frac{1}{2} (\exp(-i\chi m) + 1), \\ \alpha_m^{(2)} &= \frac{1}{2} (\exp(-i\chi m) - 1). \end{aligned} \quad (21)$$

Функция  $K_{m-n}(t)$  в уравнении (18) задается выражением

$$K_l(t) = \frac{1}{2} \left| \frac{v}{\nu} \right|^2 (1 - \exp(i\chi l)) f(t), \quad (22)$$

где

$$\begin{aligned} f(t) &= -\gamma t + \exp(-\gamma t) - 1 + \\ &+ \frac{2\gamma}{|\nu|} \left( \exp\left(-\frac{\gamma t}{2}\right) \sin(\Omega t + \phi) - \sin \phi \right), \end{aligned} \quad (23)$$

а фаза  $\phi$  определяется соотношением  $\operatorname{tg} \phi = -\gamma/2\Omega$ .

Для получения матрицы плотности, описывающей состояние только исследуемого поля, усредним выражение (18) по состоянию вспомогательного поля:

$$\begin{aligned}\rho^a(t) &= \text{Tr}_p \rho(t) = \\ &= \sum_{m,n=0}^{\infty} \rho_{mn}(0) \exp(\tilde{K}_{m-n}(t)) |m\rangle_a \langle n|, \quad (24)\end{aligned}$$

где

$$\tilde{K}_m(t) = \frac{1}{2} \left| \frac{v}{\nu} \right|^2 (1 - \exp(i\chi m)) \tilde{f}(t), \quad (25)$$

$$\begin{aligned}\tilde{f}(t) &= -\gamma t + \\ &+ 2 \left( \exp\left(-\frac{\gamma t}{2}\right) \sin(\Omega t + \tilde{\phi}) - \sin \tilde{\phi} \right); \quad (26)\end{aligned}$$

фаза  $\tilde{\phi}$  определяется соотношением

$$\tan \tilde{\phi} = -\frac{\gamma \Omega}{2\Omega^2 - \gamma^2/2}.$$

Непосредственно матрицы плотности (18) и (24) позволяют сказать об эволюции исследуемого поля лишь то, что, во-первых, распределение по числу фотонов при измерении сохраняется:

$$\mathcal{P}_n(t) = \rho_{nn}^a(t) = \rho_{nn}^a(0) = \mathcal{P}_n^0, \quad (27)$$

как и следует ожидать для квантового неразрушающего измерения, и, во-вторых, недиагональные элементы матрицы плотности затухают с характерным временем  $\gamma|v/\nu|^2$ , так что состояние поля стремится к смеси фоковских состояний с весами, определяемыми начальным распределением исследуемого поля.

Напомним, однако, что рассматриваемые матрицы плотности соответствуют случаю ансамблевого измерения, т. е. отмеченные свойства эволюции справедливы только при усреднении по многим актам измерения. Нас же в первую очередь интересует эволюция исследуемого поля в единичной реализации измерения.

### 2.3. Стохастические траектории

Для того чтобы описать состояние поля в одной реализации измерения, можно воспользоваться следующим методом. Представим матрицу плотности

поля (11) в виде линейной комбинации матриц, соответствующих различным случайным последовательностям отсчетов на детекторах:

$$\begin{aligned}\rho(t) &= S_t \rho(0) + \sum_{k=1}^{\infty} \int_0^t d\tau_k \int_0^{\tau_k} d\tau_{k-1} \dots \int_0^{\tau_2} d\tau_1 \times \\ &\times \sum_{l_1, \dots, l_k=1}^2 \rho_{l_1 \dots l_k}^{(k)}(t | \tau_k, \dots, \tau_1), \quad (28)\end{aligned}$$

где

$$\begin{aligned}\rho_{l_1 \dots l_k}^{(k)}(t | \tau_k, \dots, \tau_1) &= \\ &= S_{t-\tau_k} J_{l_k} S_{\tau_k-\tau_{k-1}} \dots J_{l_1} S_{\tau_1} \rho(0). \quad (29)\end{aligned}$$

Матрицы  $\rho_{l_1 \dots l_k}^{(k)}(t | \tau_k, \dots, \tau_1)$  можно интерпретировать как условные матрицы плотности, описывающие состояние поля в момент времени  $t$  после регистрации  $k$  отсчетов в моменты  $\tau_1, \dots, \tau_k$  на детекторах с номерами соответственно  $l_1, \dots, l_k$  [7]. При этом действие на матрицу плотности оператора  $J_l$  в выражении (29) соответствует уничтожению фотона в моде  $b_l$ , т. е. наблюдению фотоотсчета на  $l$ -м детекторе, а эволюция состояния поля между отсчетами осуществляется посредством действия оператора  $S_t$ . При начальном условии (17) матрица плотности (29) перепишется в виде

$$\begin{aligned}\rho_{l_1 \dots l_k}^{(k)}(t | \tau_1, \dots, \tau_k) &= f(t) |\beta_{\tau_1}|^2 \dots |\beta_{\tau_k}|^2 \times \\ &\times \sum_{m,n=0}^{\infty} (\alpha_m^{(1)} \alpha_n^{(1)*})^{k_1} (\alpha_m^{(2)} \alpha_n^{(2)*})^{k_2} \times \\ &\times \rho_{mn}(0) |m, t\rangle \langle n, t|, \quad (30)\end{aligned}$$

где  $k_l$  — число отсчетов на  $l$ -м детекторе ( $k_1 + k_2 = k$ ) и использованы обозначения (19)–(21).

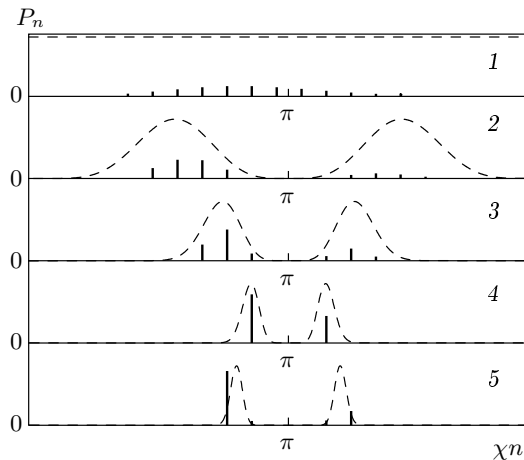
Условная матрица плотности (30) не нормирована, и ее след может быть интерпретирован как плотность вероятности наблюдения соответствующей случайной последовательности фотоотсчетов, что позволяет найти условную плотность вероятности появления  $k$ -го отсчета в момент  $\tau_k$  (на каком-либо из детекторов):

$$\begin{aligned}c(\tau_k | \tau_{k-1}) &\equiv c_{l_1 \dots l_{k-1}}(\tau_k | \tau_{k-1}, \dots, \tau_1) = \\ &= \frac{f(\tau_k)}{f(\tau_{k-1})} |\beta_{\tau_k}|^2, \quad (31)\end{aligned}$$

и условную вероятность того, что этот отсчет произойдет именно на  $l_k$ -м детекторе:

$$p_{k_1 k_2}^{(l_k)} \equiv p_{l_1 \dots l_{k-1}}^{(l_k)}(\tau_k | \tau_{k-1}, \dots, \tau_1) = \frac{N_{k'_1 k'_2}}{N_{k_1 k_2}}, \quad (32)$$

где  $k'_l = k_l + \delta_{l_k l}$  — число отсчетов, произошедших на  $l$ -м детекторе после наблюдения  $k$ -го отсчета.



**Рис. 2.** Пример изменения распределения по числу фотонов  $\mathcal{P}_n(k_1, k_2)$  с ростом числа отсчетов  $k_1, k_2$ : 1 —  $k_1 = 0, k_2 = 0$ , 2 —  $k_1 = 2, k_2 = 3$ , 3 —  $k_1 = 3, k_2 = 17$ , 4 —  $k_1 = 5, k_2 = 95$ , 5 —  $k_1 = 19, k_2 = 181$ . Функция  $g_{k_1 k_2}(n)$  с точностью до нормировки показана штриховой линией

#### 2.4. Распределение по числу фотонов

Таким образом, с помощью условных матриц плотности (30) и характеристик случайных траекторий (31) и (32) можно описать эволюцию поля в процессе одного акта измерения. Для того чтобы проанализировать эту эволюцию и ответить на поставленные в начале работы вопросы о времени и точности измерения, рассмотрим распределение поля по числу фотонов. Если нормировать условную матрицу плотности, то это распределение будет определяться ее диагональными элементами:

$$\mathcal{P}_n(k_1, k_2) = \frac{1}{N_{k_1 k_2}} g_{k_1 k_2}(n) \mathcal{P}_n^0, \quad (33)$$

где использованы обозначения

$$N_{k_1 k_2} = \sum_{n=0}^{\infty} \rho_{nn}(0) g_{k_1 k_2}(n), \quad (34)$$

$$g_{k_1 k_2}(n) = \cos^{2k_1} \frac{n\chi}{2} \sin^{2k_2} \frac{n\chi}{2}.$$

Как видно из этих соотношений, распределение по числу фотонов в отдельной реализации с точностью до нормировки представляет собой начальное распределение, промодулированное функцией  $g_{k_1 k_2}(n)$ . При этом оно не зависит явно ни от времени, ни от порядка наблюдения отсчетов, а только от их полного числа на каждом из детекторов. Функция  $g_{k_1 k_2}(n)$ , определяющая изменение распределе-

ния, имеет вид последовательности пиков (рис. 2) с максимумами в точках, определяемых уравнением

$$\cos(\chi n_{max}) = \frac{k_1 - k_2}{k_1 + k_2}, \quad (35)$$

ширина которых на заданном уровне  $\epsilon$

$$\Delta n = \frac{1}{\chi} \arccos \sqrt{\epsilon} \quad (36)$$

уменьшается с ростом числа отсчетов  $k$ . Наложение этой кривой на начальное распределение приводит к сильному подавлению областей распределения вне пиков и выделению в нем тех вероятностей  $\mathcal{P}_n$ , для которых  $n$  лежит вблизи максимума пика. При этом, так как пики сужаются с каждым отсчетом, число фоковских состояний с существенной вероятностью  $\mathcal{P}_n$  постепенно уменьшается. Таким образом, в промежуточные моменты измерения в состояние исследуемого поля вносят преобладающий вклад группы фоковских состояний с числами фотонов, близкими к максимумам пиков. К чистому фоковскому состоянию поле стремится лишь асимптотически, при стремлении ширины пика к нулю, т. е. времени — к бесконечности. Вероятность каждого окончательного результата при этом, как следует из формулы (18), задается соответствующим диагональным элементом исходной матрицы плотности:

$$\mathcal{P}_n = \rho_{nn}(t \rightarrow \infty) = \rho_{nn}(0). \quad (37)$$

В любой конечный момент времени состояние поля, строго говоря, отличается от фоковского, а значение числа фотонов, получаемое из разностного тока в гомодинной схеме в работе [6], определяет лишь положение максимумов пиков<sup>1)</sup>. Поэтому в реальном измерении числа фотонов может идти речь о конечном фоковском состоянии только с некоторой точностью.

#### 2.5. Точность измерения

Состояние поля сможет считаться фоковским с заданной точностью  $\epsilon$ , если в области пиков будет находиться лишь одно фоковое состояние с ненулевой начальной вероятностью  $\mathcal{P}_n^0$ , для чего ширина пика должна быть достаточно малой, и макси-

<sup>1)</sup> Действительно, число зарегистрированных за некоторое время  $t$  отсчетов пропорционально среднему за некоторое время фототоку в детекторе  $\langle I \rangle = kt$ , поэтому заменяя в выражении (35) числа отсчетов на соответствующие токи, получим формулу, аналогичную выражению для числа фотонов в работе [6].

мум его должен находиться вблизи соответствующего числа фотонов  $n$ . Оценим время, в течение которого необходимо проводить измерение тока, чтобы состояние можно было считать фоковским с точностью  $\epsilon$ . Для того чтобы вычислить число фоковских состояний с ненулевыми начальными вероятностями, которые находятся в данный момент в области пиков, воспользуемся следующим приемом. Разобьем ось чисел фотонов на равные участки точками  $n = \pi r/\chi$  и наложим участки друг на друга таким образом, чтобы совместить все пики:  $n \rightarrow n \bmod(\pi/\chi)$ , если  $n$  лежит на нечетном по счету участке, и  $n \rightarrow \pi\chi - n \bmod(\pi/\chi)$ , если на четном. Здесь  $r$  — неотрицательные целые числа, а  $\bmod$  означает операцию деления по модулю. При таком наложении точки, соответствующие различным фоковским состояниям, будут распределены с некоторой частотой по отрезку  $n \in [0, \chi/\pi]$ . Если обозначить  $\delta n$  минимальное расстояние между такими точками, то условие того, что в распределение вносит вклад лишь одно фоковское состояние, запишется в виде

$$\Delta n \leq \delta n. \quad (38)$$

Отсюда, используя выражение (36), получим, что

$$k \geq \frac{\ln \epsilon}{\ln \cos(\chi \delta n)}. \quad (39)$$

Выражение, стоящее в правой части, имеет смысл минимального числа отсчетов, после которого состояние поля с заданной степенью точности  $\epsilon$  можно считать фоковским. Если умножить это число на среднее время между отсчетами

$$\bar{\tau} \approx \frac{1}{\gamma'}, \quad \gamma' = \gamma \left| \frac{v}{\nu} \right|^2, \quad (40)$$

то получим среднее время измерения, необходимое для получения фоковского состояния:

$$\tau = \frac{\ln \epsilon}{\ln \cos(\chi \delta n)} \bar{\tau}. \quad (41)$$

Если исходное распределение по числу фотонов достаточно узкое, так что на его ширину приходится лишь один пик функции  $g_{k_1 k_2}(n)$ , то расстояние между фоковскими состояниями  $\delta n$  равно 1; в случае более широкого распределения (два пика на его ширину) можно показать, что

$$\delta n \approx \frac{1}{2} \sin^2 \frac{2\pi^2}{\chi}.$$

Чтобы дать представление о необходимом времени измерения, скажем, что при довольно реалистичном значении нелинейности  $\chi \sim 10^{-3}$  для получения

фоковского состояния с точностью  $\epsilon \approx 1\%$  необходимо зарегистрировать на детекторах порядка  $10^7$  фотоотсчетов.

## 2.6. Фоковский кубит

На большое время перехода состояния в фоковское можно взглянуть и с другой стороны. Согласно (36), скорость уменьшения  $\Delta n$  уменьшается с ростом числа отсчетов, поэтому большую часть времени до перехода состояния к фоковскому исследуемое поле должно существовать в состоянии, состоящем из двух фоковских состояний (так называемый фоковский кубит). Время жизни такой пары фоковских состояний  $\Delta\tau$  может быть найдено аналогично (41), с тем лишь отличием, что условие существенного вклада в распределение двух фоковских состояний будет иметь вид

$$\delta n < \Delta n < 3\delta n. \quad (42)$$

При малых значениях нелинейности  $\chi$  такая оценка времени существования фоковского кубита имеет вид

$$\Delta\tau = \frac{512 \ln(1/\epsilon)}{225\chi^2 \delta n^2} \bar{\tau}. \quad (43)$$

Большое время жизни пары  $\Delta\tau \gg \bar{\tau}$  позволяет рассматривать используемую схему квантового неразрушающего измерения в качестве способа генерации фоковских кубитов. Стоит обратить отдельное внимание на случай, когда положение максимумов пиков соответствует точно различным состояниям  $|m\rangle_a$  и  $|n\rangle_a$ . Для этого должно выполняться одно из соотношений:

$$\chi(m \pm n) = 2\pi r, \quad (44)$$

где  $r$  — целое число. При таком условии диагональные элементы, соответствующие этим состояниям, одинаково изменяются при наблюдении отсчетов, поэтому пара  $|m\rangle_a$  и  $|n\rangle_a$  может существовать бесконечно долго, никогда не редуцируясь к фоковскому состоянию.

## 3. МОДЕЛИРОВАНИЕ СЛУЧАЙНЫХ ТРАЕКТОРИЙ

Полученные в предыдущей главе характеристики случайных траекторий позволяют провести численное моделирование процесса фотодетектирования, дающее наглядное представление об эволюции поля в процессе измерений. Несколько примеров такого моделирования приведены в этом разделе.

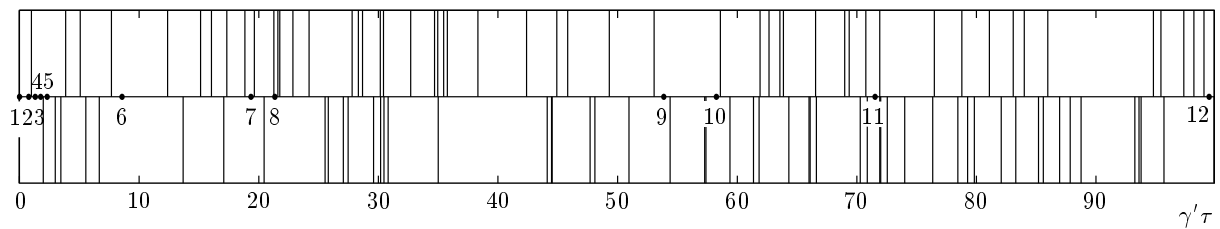


Рис. 3. Случайная последовательность отсчетов на детекторах в одной реализации измерения

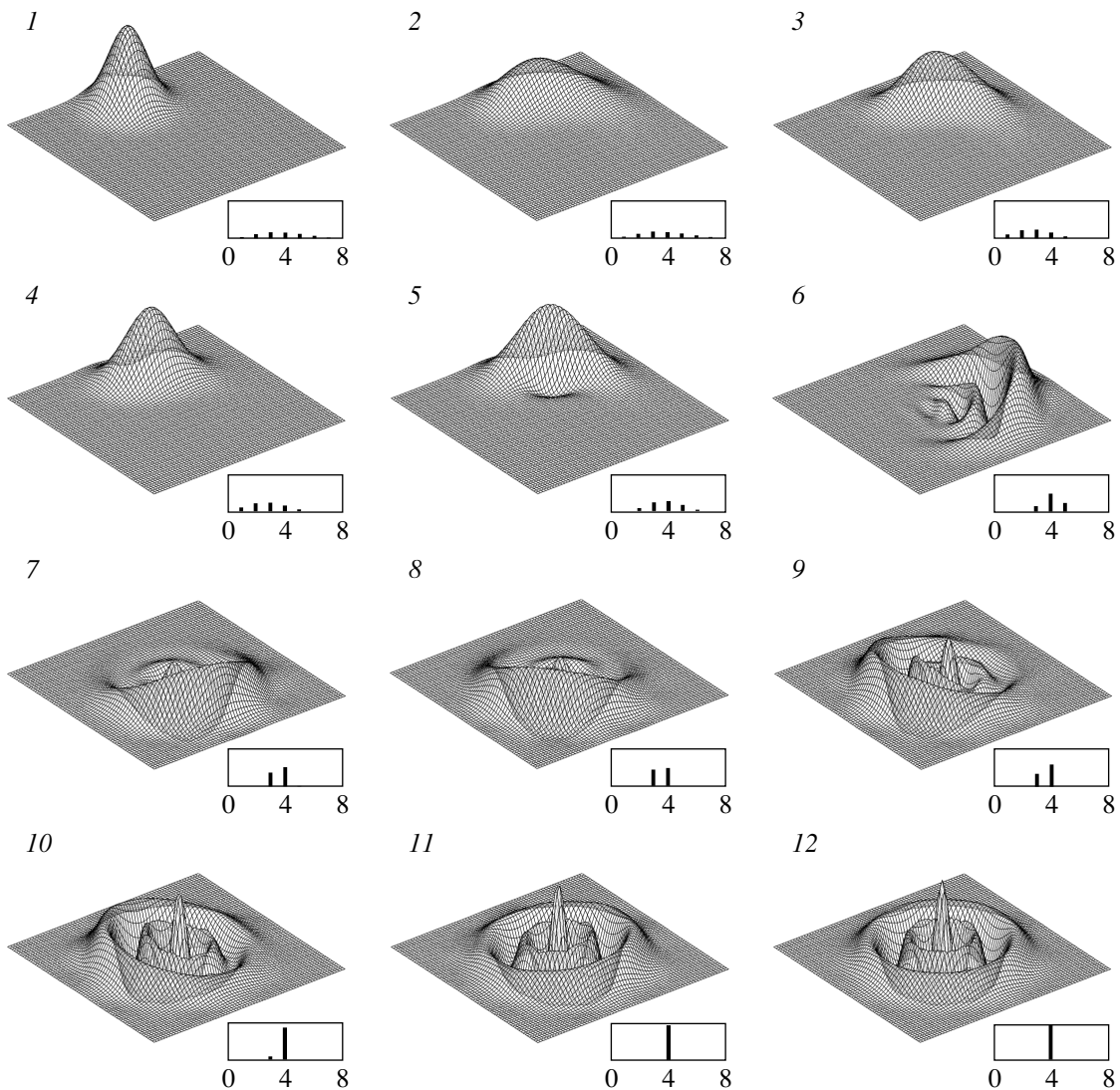


Рис. 4. Функция Вигнера и распределение по числу фотонов (вставки) исследуемого поля в последовательные моменты одной из случайных траекторий (см. рис. 6). Начальное когерентное состояние исследуемого поля эволюционирует к состоянию, состоящему из пары фоковских состояний, перепутанных с вспомогательным полем. По истечении времени, гораздо большего среднего времени между отсчетами на детекторе,  $1/\gamma'$ , это состояние редуцируется к чистому фоковскому

### 3.1. Когерентное начальное состояние

В качестве первого примера рассмотрим случай, в котором исследуемое поле изначально находится в когерентном состоянии с амплитудой  $\alpha$ :

$$|\psi(0)\rangle_a = |\alpha\rangle_a. \quad (45)$$

Для того чтобы наглядно представить изменение состояния поля  $a$  при детектировании, рассмотрим эволюцию его функции Вигнера

$$W(z) = \frac{1}{\pi^2} \int d^2\lambda \langle \exp(\lambda(a^\dagger - z^*) - \lambda^*(a - z)) \rangle. \quad (46)$$

Используя выражение (30) для условной матрицы плотности, можно переписать формулу (46) в виде

$$\begin{aligned} W(z) = & \sum_{m,n=0}^{\infty} W_{nm}(z) \rho_{mn} \times \\ & \times \exp \left\{ -\frac{1}{2} |\beta_t|^2 (1 - \exp\{i(m-n)\chi\}) \right\}. \end{aligned} \quad (47)$$

Здесь

$$\begin{aligned} \rho_{mn} = & \\ = & \frac{1}{N_{k_1 k_2}} (\alpha_m^{(1)} \alpha_n^{(1)*})^{k_1} (\alpha_m^{(2)} \alpha_n^{(2)*})^{k_2} \rho_{mn}(0) \end{aligned} \quad (48)$$

есть матричные элементы нормированной матрицы плотности, а  $W_{nm}(z)$  — матричные элементы оператора

$$\hat{W}(z) = \frac{1}{\pi^2} \int d^2\lambda \exp\{\lambda(a^\dagger - z^*) - \lambda^*(a - z)\}, \quad (49)$$

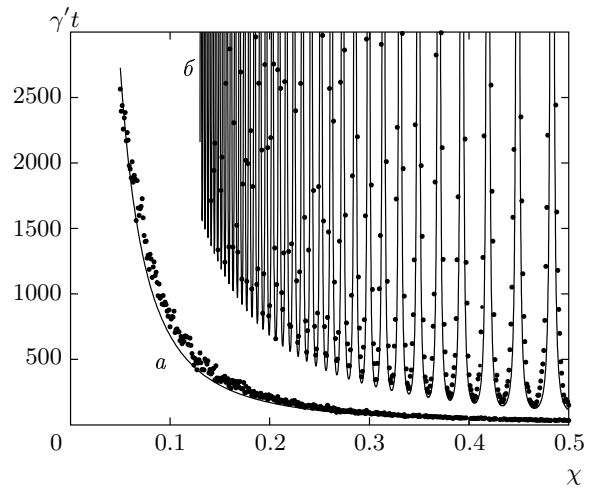
которые, используя обобщенные полиномы Лагерра  $\mathcal{L}_n^{(k)}$ , можно представить в виде [9]

$$\begin{aligned} W_{nm}(z) = & \frac{2}{\pi} (-1)^n \left( \frac{n!}{m!} \right)^{1/2} \times \\ & \times (2z^*)^{m-n} \exp(-2|z|^2) \mathcal{L}_n^{(m-n)}(4|z|^2). \end{aligned} \quad (50)$$

Результат моделирования (рис. 3, 4) показывает, что в процессе измерения распределение поля по числу фотонов сужается и его состояние постепенно приближается к одному из фоковских состояний (рис. 4 (12)) с соответствующей функцией Вигнера

$$\begin{aligned} W_n(z) = W_{nn}(z) = & \\ = & \frac{2}{\pi} (-1)^n \exp(-2|z|^2) \mathcal{L}_n^{(0)}(4|z|^2), \end{aligned} \quad (51)$$

которая аксиально симметрична на комплексной плоскости и у которой суммарное число максимумов и минимумов равно числу фотонов в конечном



**Рис. 5.** Среднее время жизни пары фоковских состояний в зависимости от нелинейности керровской среды (численное моделирование): *a* — случай узкого распределения (на ширину распределения приходится один пик  $g_{k_1 k_2}$ ), *б* — случай широкого распределения (два пика  $g_{k_1 k_2}$ ). Оценки времени (43) показаны сплошными линиями

состоянии. Среднее время перехода когерентного состояния в фоковское, полученное при численном моделировании, хорошо описывается формулой (41). Асимптоты в случае широкого распределения соответствуют случаю, описываемому формулой (44).

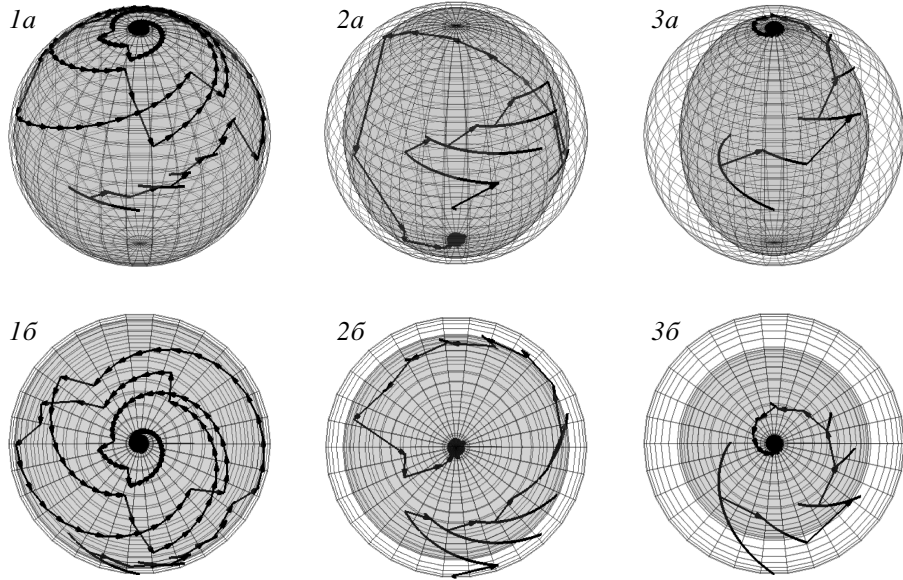
При этом действительно большую часть времени эволюции исследуемое поле находится в состоянии фоковского кубита (рис. 4 (7–9)), и среднее время жизни такого состояния согласуется с оценкой (43) (рис. 5).

### 3.2. Случайные траектории фоковского кубита

Из-за большого времени жизни пары фоковских состояний представляет интерес отдельное исследование эволюции такой пары. Выберем поэтому начальное состояние исследуемого поля в виде суперпозиции двух фоковских состояний:

$$|\psi(0)\rangle_a = \cos \frac{\theta_0}{2} |m_1\rangle_a + \exp(i\phi_0) \sin \frac{\theta_0}{2} |m_2\rangle_a. \quad (52)$$

Как следует из выражения (30), если к моменту времени  $t$  на первом и втором детекторах произошло соответственно  $k_1$  и  $k_2$  отсчетов, вектор состояния



**Рис. 6.** Примеры случайных траекторий пары фоковских состояний на сфере Блоха при различных значениях  $\delta$  ( $a$  — вид сбоку,  $\beta$  — вид сверху):  $\delta = 0.2$  (1), 0.4 (2), 0.6 (3). Изображающая точка начинает движение на экваторе сферы и с течением времени приближается к одному из полюсов, которые соответствуют фоковским состояниям поля. Скачки изображающей точки в направлении верхнего и нижнего полюсов (стрелки) обусловлены наблюдением отсчетов соответственно на первом и втором детекторах; между отсчетами точка совершает затухающие колебания в горизонтальной плоскости

поля имеет вид

$$|\psi_{k_1 k_2}(t)\rangle = \cos \frac{\theta_{k_1 k_2}}{2} |m_1, t\rangle + \\ + \exp(i\phi_{k_1 k_2}) \sin \frac{\theta_{k_1 k_2}}{2} |m_2, t\rangle, \quad (53)$$

где

$$\phi_{k_1 k_2} = \phi_0 + \frac{(m_2 - m_1)(k_1 + k_2)\chi}{2}, \quad (54)$$

$$\operatorname{tg} \frac{\theta_{k_1 k_2}}{2} = \left( \frac{\cos \frac{m_2 \chi}{2}}{\cos \frac{m_1 \chi}{2}} \right)^{k_1} \left( \frac{\sin \frac{m_2 \chi}{2}}{\sin \frac{m_1 \chi}{2}} \right)^{k_2} \operatorname{tg} \frac{\theta_0}{2}. \quad (55)$$

Состояние исследуемого поля в этот момент будет описываться матрицей плотности  $\rho^a = \operatorname{Tr}_p \rho$ , которую в базисе  $\{|m_1\rangle_a, |m_2\rangle_a\}$  можно записать в виде [10]

$$\rho^a = \frac{1}{2}(1 + \mathbf{P} \cdot \boldsymbol{\sigma}), \quad (56)$$

где  $\boldsymbol{\sigma} = \{\sigma_1, \sigma_2, \sigma_3\}$  — матрицы Паули,  $\mathbf{P}$  — трехмерный вектор длины  $|\mathbf{P}| \leq 1$ . Параметризованное таким образом состояние можно представить точкой на шаре единичного радиуса, положение которой определяется вектором  $\mathbf{P}$  (сфера Блоха). Точки

на поверхности этого шара соответствуют чистым состояниям поля, причем векторам  $|m_1\rangle_a$  и  $|m_2\rangle_a$  отвечают соответственно верхний и нижний полюсы сферы. Компоненты вектора  $\mathbf{P}$  для состояния, определяемого выражением (53), имеют вид

$$P_1 = \sin \theta_{k_1 k_2} \cos(\phi_{k_1 k_2} - \frac{1}{2}|\beta_t|^2 \sin \delta) \times \\ \times \exp\left(-|\beta_t| \sin^2 \frac{\delta}{2}\right), \\ P_2 = \sin \theta_{k_1 k_2} \sin(\phi_{k_1 k_2} - \frac{1}{2}|\beta_t|^2 \sin \delta) \times \\ \times \exp\left(-|\beta_t| \sin^2 \frac{\delta}{2}\right), \quad (57)$$

$$P_3 = \cos \theta_{k_1 k_2},$$

где  $\delta = (m_1 - m_2)\chi/2$ , а  $\beta_t$  определяется выражением (20). Как следует из соотношений (57), эволюция изображающей точки в сфере Блоха между отсчетами на детекторах представляет собой затухающее колебание с характерным временем затухания  $1/\gamma$ , равновесное положение которого находится на эллипсоиде вращения

$$\frac{P_1^2 + P_2^2}{r^2} + P_3^2 = 1 \quad (58)$$

с длиной малой полуоси

$$r = \exp \left( - \left| \frac{v}{\nu} \right|^2 \sin^2 \frac{\delta}{2} \right). \quad (59)$$

Поэтому при времени  $t \gg 1/\gamma$  точка с большой степенью точности находится на эллипсоиде (58), и перемещение ее происходит только в моменты наблюдения отсчетов.

Учитывая, что вероятность наблюдения отсчета на первом детекторе в соответствии с (32) равна

$$P_1 = \cos^2 \frac{m_1 \chi}{2} \cos^2 \frac{\theta_{k_1 k_2}}{2} + \\ + \cos^2 \frac{m_2 \chi}{2} \sin^2 \frac{\theta_{k_1 k_2}}{2}, \quad (60)$$

а плотность вероятности того, что он произойдет в момент времени  $t$ , задается выражением (31), можно генерировать случайные последовательности отсчетов. Используя это, мы провели численное моделирование случайных траекторий поля, несколько примеров которых представлено на рис. 6.

#### 4. ЗАКЛЮЧЕНИЕ

В данной работе проведено исследование временной эволюции электромагнитного поля в процессе измерения числа фотонов в нем. При рассмотрении использовалась схема квантового неразрушающего измерения, основанная на измерении фазового сдвига вспомогательного поля после его взаимодействия с исследуемым в керровской среде.

Было показано, что в течение длительного времени измерения в состояние поля вносят сравнимый вклад несколько фоковских состояний с определенными числами фотонов, пока вес одного из них не станет преобладающим. При этом остальные компоненты распределения по числу фотонов не затухают до нуля, и состояние поля приближается к чисто фоковскому лишь асимптотически при стремлении времени к бесконечности. Особенностью эволюции поля при измерении является тот факт, что наибольшую часть времени до перехода к фоковскому состоянию поле существует в состоянии фоковского кубита, т. е. суперпозиции двух фоковских состояний, что позволяет рассматривать используемую схему квантового неразрушающего измерения как метод генерации таких состояний.

В работе получено также аналитическое выражение для среднего времени измерения, необходимого для перехода начального состояния в фоковское с заданной степенью точности, а также время существования состояния фоковского кубита в процессе измерения.

Используемый в работе метод измерения числа фотонов был неоднократно реализован экспериментально [11–13]. Однако для проверки результатов настоящей работы необходимо разрешить отдельные отсчеты, что требует использования детекторов одиночных фотонов. В настоящее время существует ряд таких детекторов [14], которые позволяют провести описанные в работе измерения.

Авторы с благодарностью отмечают частичную поддержку данных исследований Белорусским РФФИ и фондом INTAS, а также выражают признательность Д. Б. Хорошко за плодотворные дискуссии в ходе написания работы и Ж.-Ф. Роху (J.-F. Roch) за указание на работу [13].

#### ЛИТЕРАТУРА

1. Д. Бом, *Квантовая теория*, Наука, Москва (1965).
2. В. Б. Брагинский, Ю. И. Воронцов, УФН **114**, 41 (1974).
3. В. Б. Брагинский, Ю. И. Воронцов, Ф. Я. Халили, ЖЭТФ **73**, 1340 (1977).
4. W. G. Unruh, Phys. Rev. D **19**, 2888 (1979).
5. M. O. Scully and M. S. Zubairy, *Quantum Optics*, Cambridge Univ. Press, Cambridge (1999).
6. N. Imoto, H. A. Haus, and Y. Yamamoto, Phys. Rev. A **32**, 2287 (1985).
7. С. Я. Килин, *Квантовые поля и их детектирование*, Наука и техника, Минск (1990).
8. H. D. Carmichael, *An Open System Approach to Quantum Optics*, Springer-Verlag, Berlin (1993).
9. V. Bužek and P. L. Knight, in *Progress in Optics*, ed. by E. Wolf, North-Holland, Amsterdam (1995), Vol. 34, p. 1.
10. J. Preskill, Quantum Information and Computation, California Institute of Technology (1998), <http://theory.caltech.edu/~preskill/ph229>.
11. H. A. Bachor, M. D. Levenson, D. F. Walls, S. H. Perlmutter, and R. M. Shelby, Phys. Rev. A **38**, 180 (1988).
12. S. R. Friberg, S. Machida, and Y. Yamamoto, Phys. Rev. Lett. **69**, 3165 (1992).
13. J. F. Roch, K. Vigneron, P. Grelu et al., Phys. Rev. Lett. **78**, 634 (1997).
14. H. Dautet, P. Deschamps, B. Dion et al., Appl. Opt. **32**, 3894 (1993).